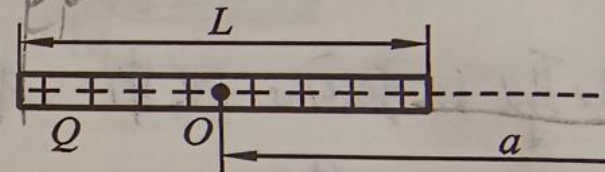


电量  $Q$  ( $Q > 0$ ) 均匀分布在长为  $L$  的细棒上(见图), 在细棒的延长线上至细棒离为  $a$  的  $P$  点处放一带电量为  $q$  ( $q > 0$ ) 的点电荷, 求带电细棒对该点电荷的静电力。

$$\text{解: } dF = \frac{qQdx}{L(a + \frac{L}{2} - x)^2} 4\pi\epsilon_0$$

$$F = \int_0^L \frac{qQ}{L} \frac{dx}{(a + \frac{L}{2} - x)^2} 4\pi\epsilon_0$$

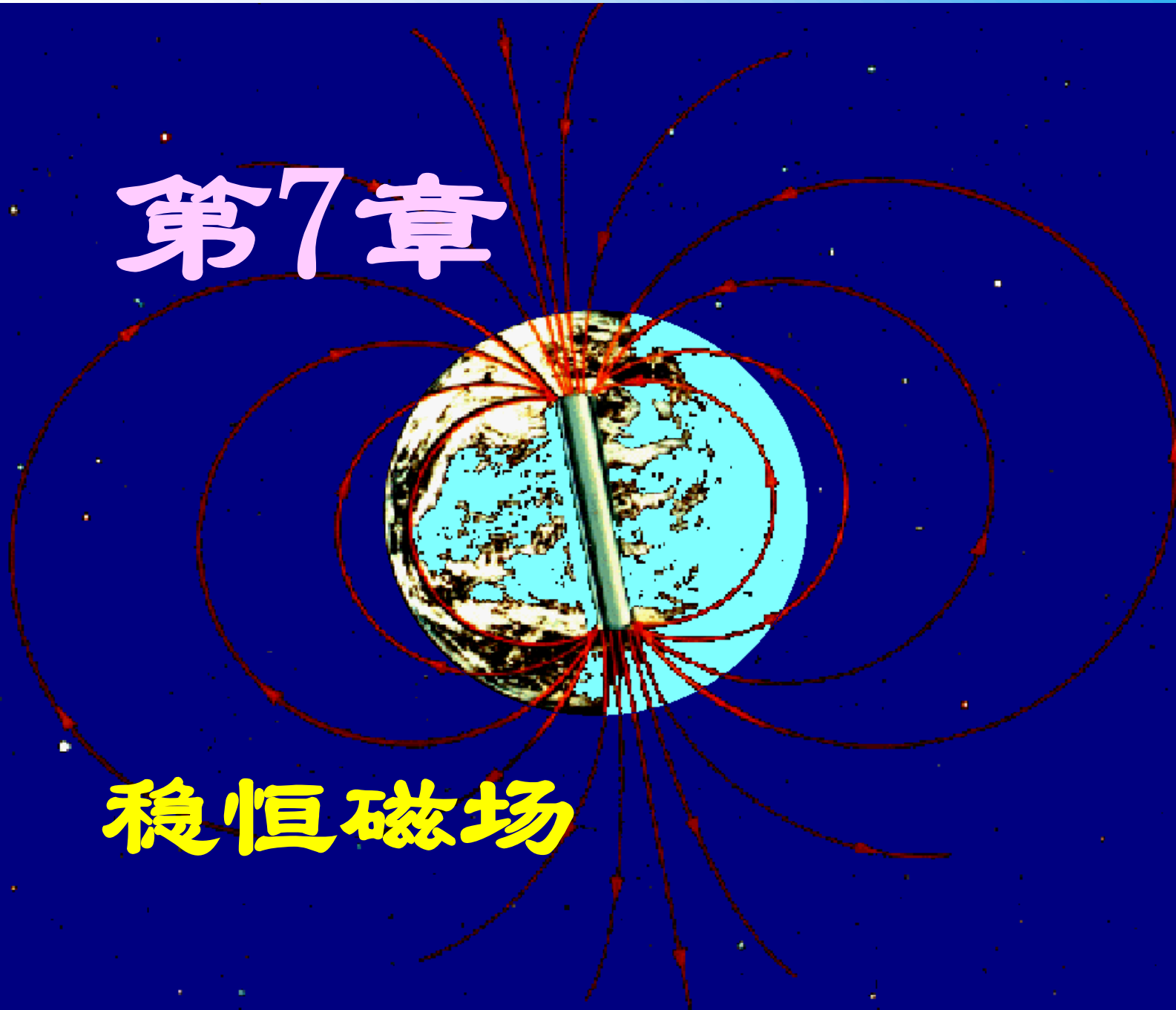
$$= \frac{qQ}{L} \left( \frac{1}{a - \frac{L}{2}} - \frac{1}{a + \frac{L}{2}} \right) = \frac{qQ}{\left(a^2 - \frac{L^2}{4}\right)} (4\pi\epsilon_0) \quad \text{方向水平向右.}$$



无论是库仑定律、毕奥萨伐尔定律, 一定不要忘了**系数**!

# 第7章

## 稳恒磁场



# 第7章 稳恒磁场

一、磁场

二、毕奥 — 萨伐尔定律

三、磁场的高斯定理

四、安培环路定理

五、带电粒子在电磁场中的运动

六、磁介质

# 一、磁场 magnetic field

## 1. 基本的磁现象

{ 磁铁、磁性、磁极(N, S)、磁力、  
磁化、磁极与电荷的区别.....

## 2. 电与磁的联系

奥斯特发现 \* 电流（旁）——小磁针偏转

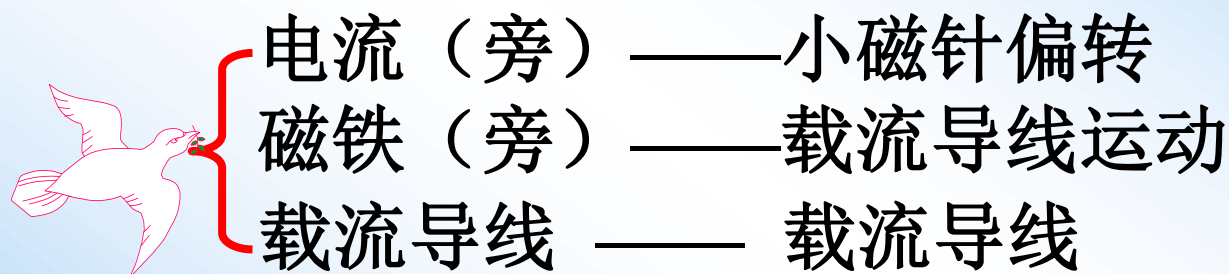
安培发现 { \*\* 磁铁（旁）——载流导线运动  
\*\*\* 载流导线 —— 载流导线

电与磁密切相关 { 运动电荷产生磁现象  
运动电荷本身受磁力作用

### 3. 磁场



运动电荷、电流与磁铁周围存在同一种磁场



三种情况的相互作用，依赖“**磁场**”完成

磁场的性质：

**具有力和能的性质**

- 磁场对其内的运动电荷有力的作用
- 载流导体在磁场中移动时，磁力对其做功

#### 4. 磁感应强度 $\vec{B}$

实验表明：点电荷 $q$ ，速度为 $v$ 时，在静电场中受到与速度无关的力  $\vec{F}_e = q\vec{E}$ 。

在磁场中受到另一种与速度有关的力

称为洛伦兹力  $\vec{F}_m = q\vec{v} \times \vec{B}$

描述磁场的基本物理量是磁感应强度  $\vec{B}$

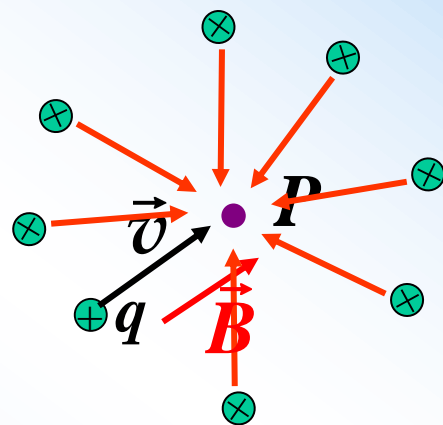
$\vec{B}$  的定义：

设电荷 $q$ 以速度  $\vec{v}$  进入磁场  $\vec{B}$  中的 $P$ 点

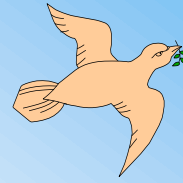
受力为零的方向，定义  $\vec{B}$  的方向；

当  $q_0$  沿  $\vec{v} \perp \vec{B}$  的方向运动时， $F = F_{Max}$

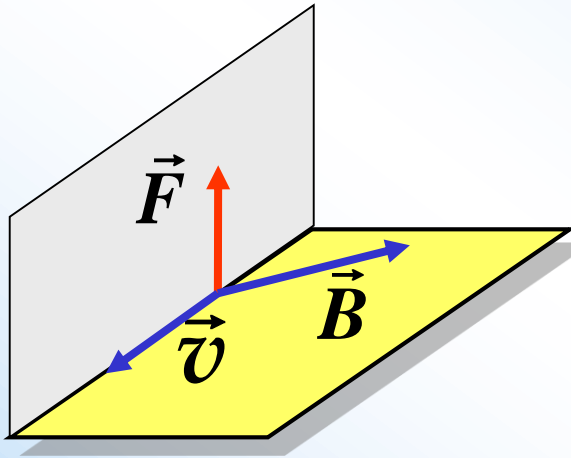
$$\text{则 } B = \frac{F_{Max}}{qv}$$



$\vec{F}$ 、 $\vec{v}$ 、 $\vec{B}$  三者之间的关系如下：



$$\vec{F} = q\vec{v} \times \vec{B}$$



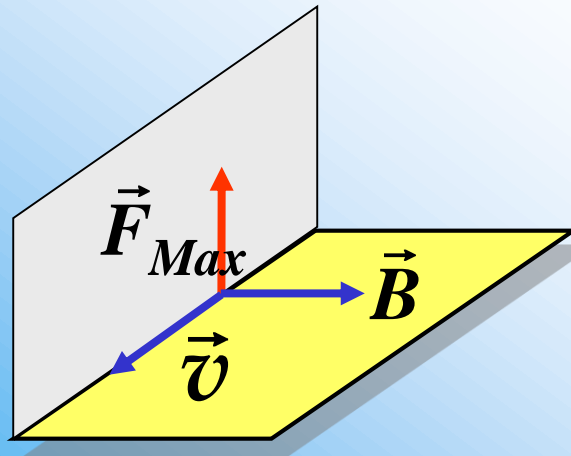
1°  $\vec{F} \perp (\vec{v}, \vec{B})$  决定的平面

2°  $\vec{v} \perp \vec{B}$  时,  $F = F_{\text{Max}}$

3°  $\vec{v} \parallel \vec{B}$  及  $v = 0$  时,  $F = 0$

大小  $B = \frac{F_{\text{Max}}}{q_0 v}$

方向  $\vec{F}_{\text{Max}} \times \vec{v}$



单位：

SI制 T(特斯拉)

高斯制 G(高斯)

$$1\text{T} = 10^4\text{G}$$

**$B$  如何计算？**



## 二、毕奥 — 萨伐尔定律

The Biot-Savart law

### 1. 毕奥 — 萨伐尔定律

——电流激发磁场的规律

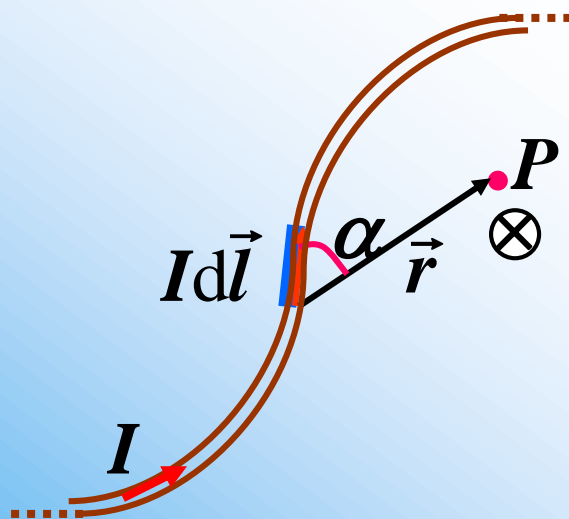


(Biot)



(Savart)

实验证明：真空中电流元  $I d\vec{l}$  在  $P$  点产生的磁场



大小  $dB = k \frac{Idl \sin \alpha}{r^2}$   
方向  $I d\vec{l} \times \vec{r}$  的方向

SI制中：  $k = \frac{\mu_0}{4\pi}$

$$\mu_0 = 4\pi \times 10^{-7} \text{ T} \cdot \text{m} / \text{A}$$

真空中的  
磁导率

写成矢量式

$$d\vec{B} = \frac{\mu_0}{4\pi} \frac{I d\vec{l} \times \vec{e}_r}{r^2}$$

毕—萨定律





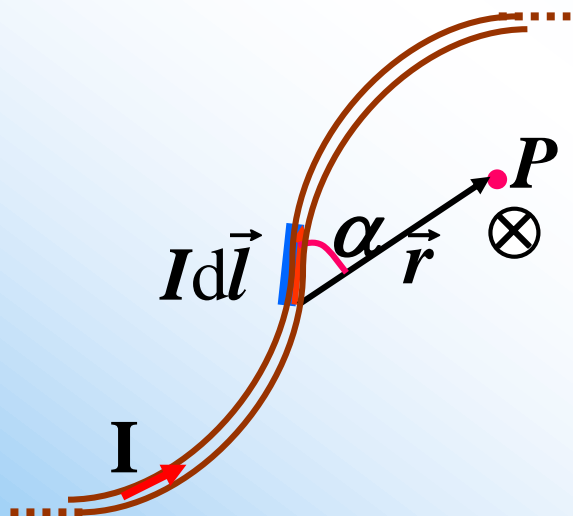
$$d\vec{B} = \frac{\mu_0}{4\pi} \frac{I d\vec{l} \times \vec{e}_r}{r^2}$$

毕 — 萨定律

长为 $L$ 的载流导线, 在 $P$ 点产生的磁感应强度

用迭加法得

$$\vec{B} = \int \frac{\mu_0}{4\pi} \frac{I d\vec{l} \times \vec{e}_r}{r^2}$$

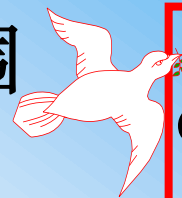


$$\vec{B} \begin{cases} B_x = \int_L dB_x \\ B_y = \int_L dB_y \\ B_z = \int_L dB_z \end{cases}$$

## 2. 毕—萨定律的应用

(下面讨论几种常见的电流结构)

例1. 求长为 $L$ 的直线电流  $I$  在周围空间激发的磁场。



$$d\vec{B} = \frac{\mu_0}{4\pi} \frac{I d\vec{l} \times \vec{e}_r}{r^2}$$

解：取任意电流元  $I d\vec{l}$  建立坐标系：

其在 $P$ 点产生的磁场为  $d\vec{B} = \frac{\mu_0}{4\pi} \frac{I dl \sin \alpha}{r^2} \vec{j}$

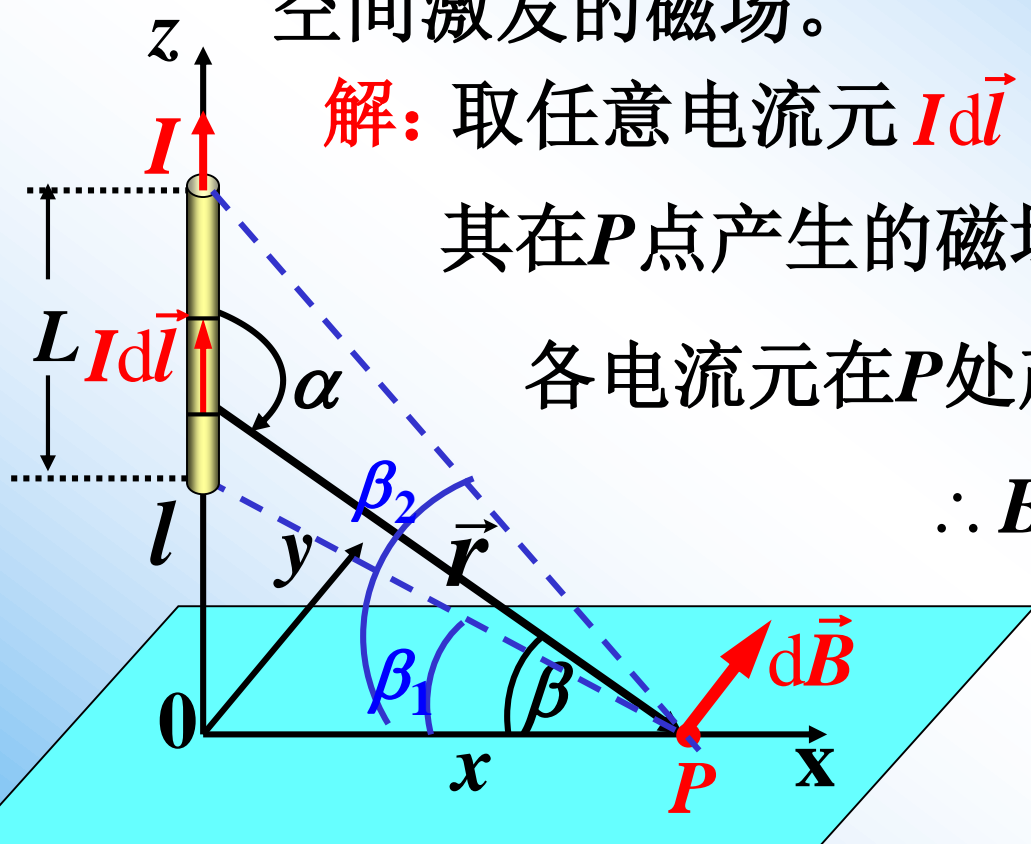
各电流元在 $P$ 处产生的 $dB$ 方向一致

$$\therefore B = \int \frac{\mu_0}{4\pi} \frac{I dl \sin \alpha}{r^2}$$

$$= \frac{\mu_0 I}{4\pi x} \int_{\beta_1}^{\beta_2} \cos \beta d\beta$$

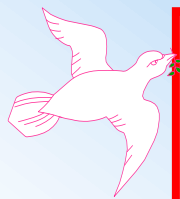
$$= \frac{\mu_0 I}{4\pi x} [\sin \beta_2 - \sin \beta_1]$$

方向：沿  $y$  轴方向



$$\left\{ \begin{array}{l} \sin \alpha = \cos \beta \\ r = x \sec \beta \\ l = x \tan \beta \\ dl = x \sec^2 \beta d\beta \end{array} \right.$$

## 讨论



$$B = \frac{\mu_0 I}{4\pi x} [\sin \beta_2 - \sin \beta_1]$$

1° 若导线无限长

$$\beta_2 = +\frac{\pi}{2} \quad \beta_1 = -\frac{\pi}{2}$$

$$B = \frac{\mu_0 I}{2\pi x}$$

比较:

$$E = \frac{\lambda}{2\pi\epsilon_0 x}$$

2° 若导线半无限长

$$\beta_1 = 0, \quad \beta_2 = \frac{\pi}{2}$$

$$B = \frac{\mu_0 I}{4\pi x}$$

3° P点在导线的延长线上

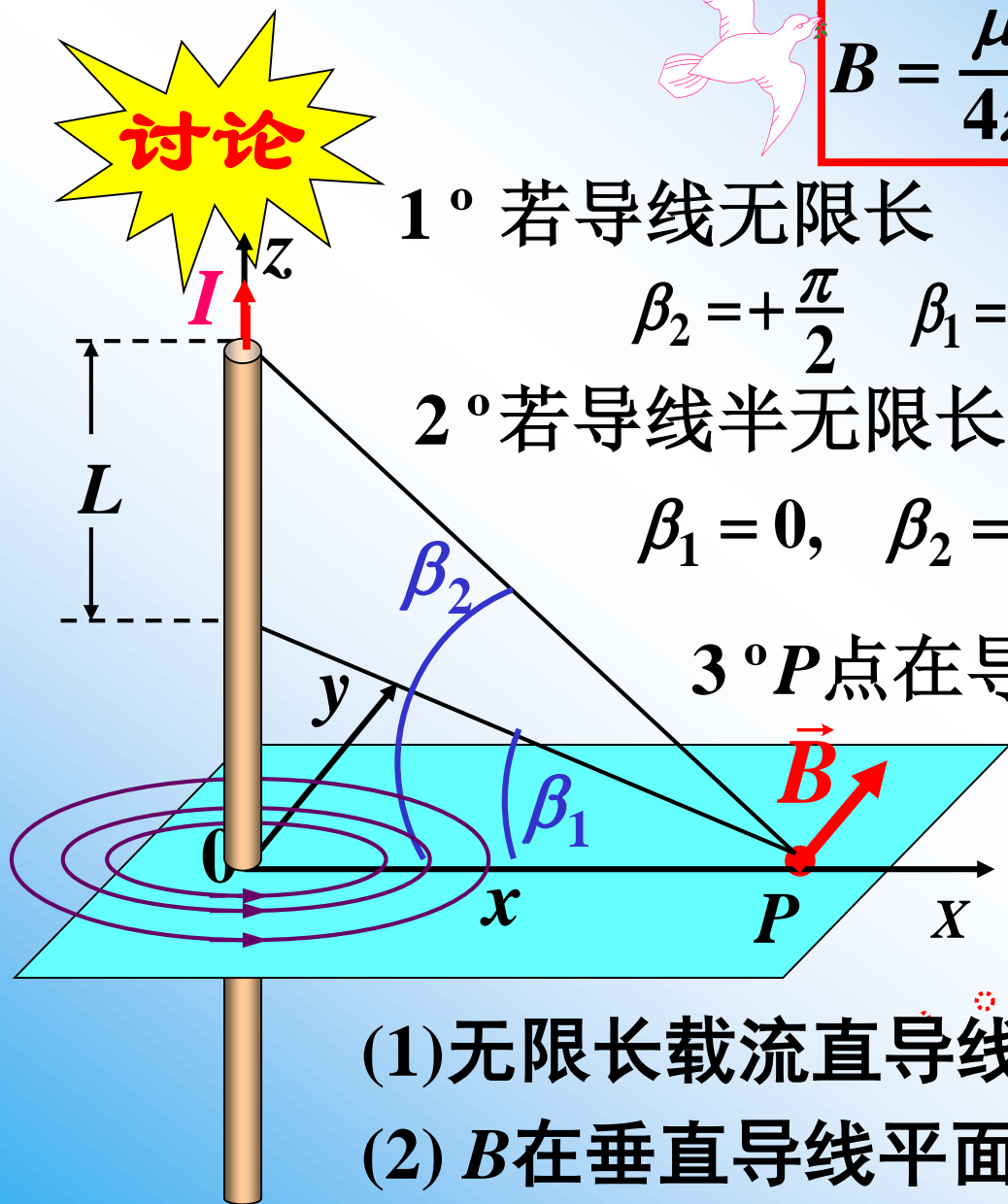
$$\beta_1 = \beta_2 = \pm \frac{\pi}{2}$$

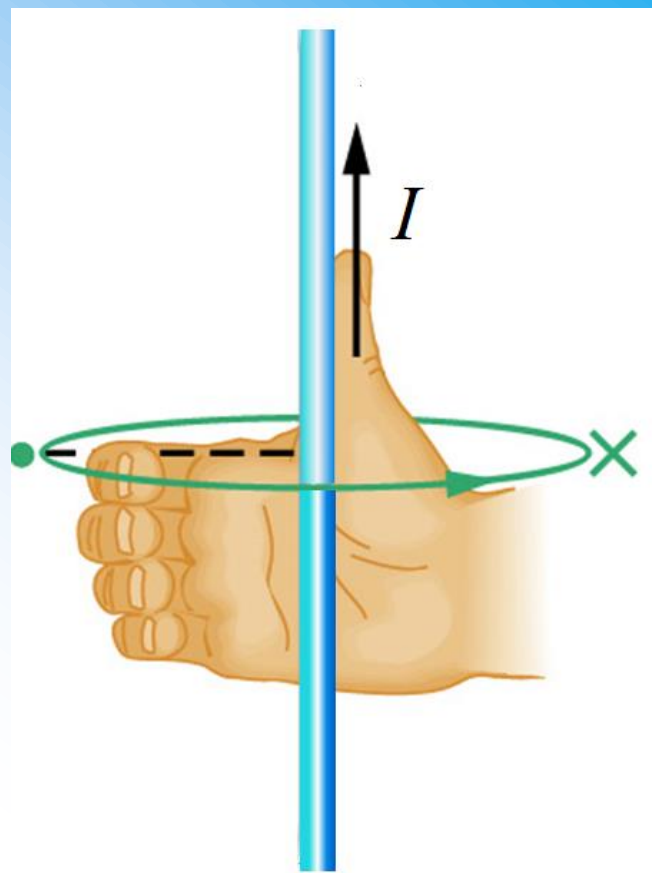
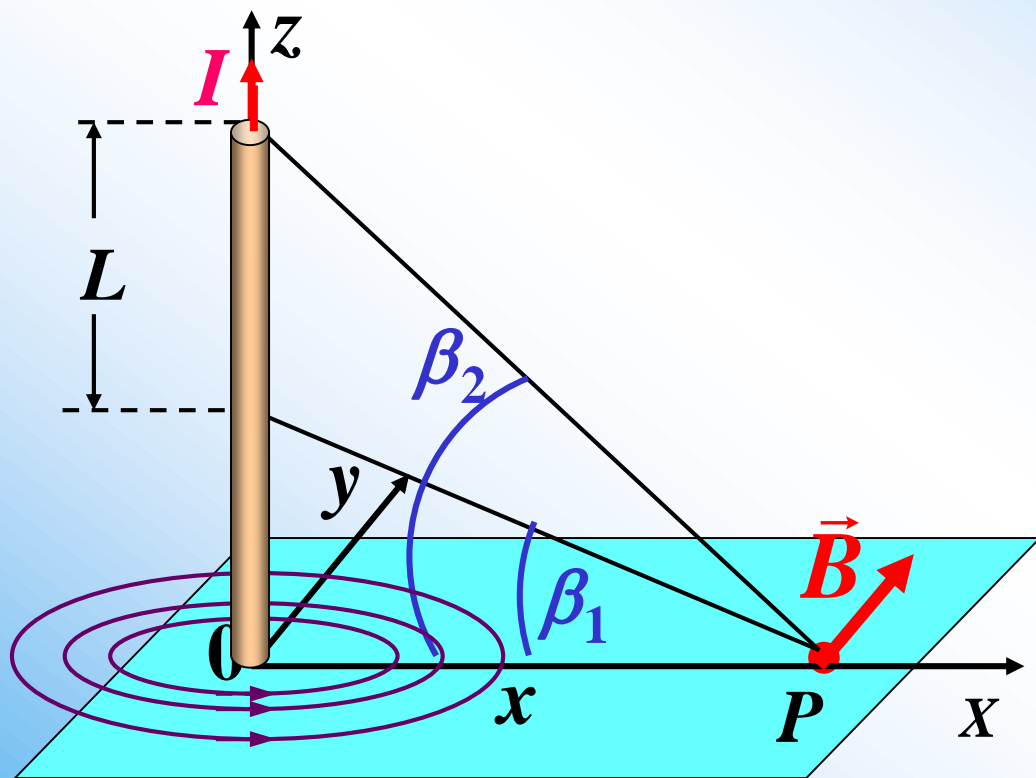
$$B = 0$$

结论:

(1) 无限长载流直导线周围  $B$  与  $x$  成反比

(2)  $B$  在垂直导线平面内沿同心圆切线方向, 并与电流方向成右手螺旋关系





- (1) 无限长载流直导线周围  $B$  与  $x$  成反比
- (2)  $B$  在垂直导线平面内沿同心圆切线方向，并与电流方向成右手螺旋关系

**例2.** 求载流圆线圈轴线上的磁场 $\vec{B}$ ,

已知半径为 $R$ , 通电电流为 $I$ .

$$d\vec{B} = \frac{\mu_0}{4\pi} \frac{I d\vec{l} \times \vec{e}_r}{r^2}$$

**解:** 取任意电流元  $I d\vec{l}$

$\left. \begin{matrix} d\vec{B} \\ d\vec{B}' \end{matrix} \right\}$  是对x轴对称的

$$\sum dB_{\perp x} = 0$$

$$\therefore B = \int dB_x = \int dB \cos \theta$$

$$dB = \frac{\mu_0}{4\pi} \frac{|I d\vec{l} \times \vec{e}_r|}{r^2} = \frac{\mu_0}{4\pi} \frac{I dl}{r^2}$$

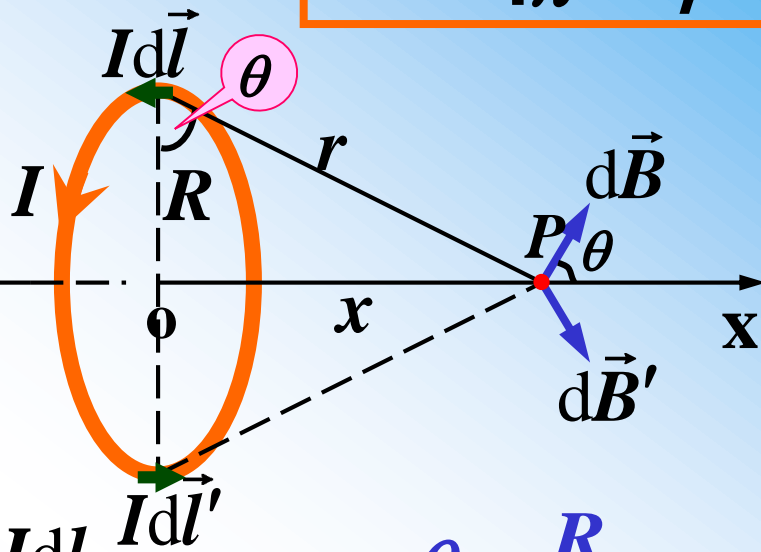
$$\cos \theta = \frac{R}{r}$$

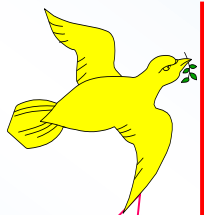
$$r^2 = x^2 + R^2$$

$$B = \frac{\mu_0}{4\pi} \int_0^{2\pi R} \frac{I \cos \theta dl}{r^2} = \frac{\mu_0 I \cos \theta}{4\pi r^2} 2\pi R$$

$$B = \frac{\mu_0 I R^2}{2(x^2 + R^2)^{3/2}}$$

方向沿 x 轴正向





$$B = \frac{\mu_0 I R^2}{2(R^2 + x^2)^{3/2}}$$

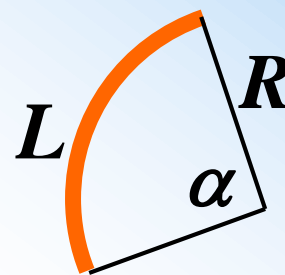
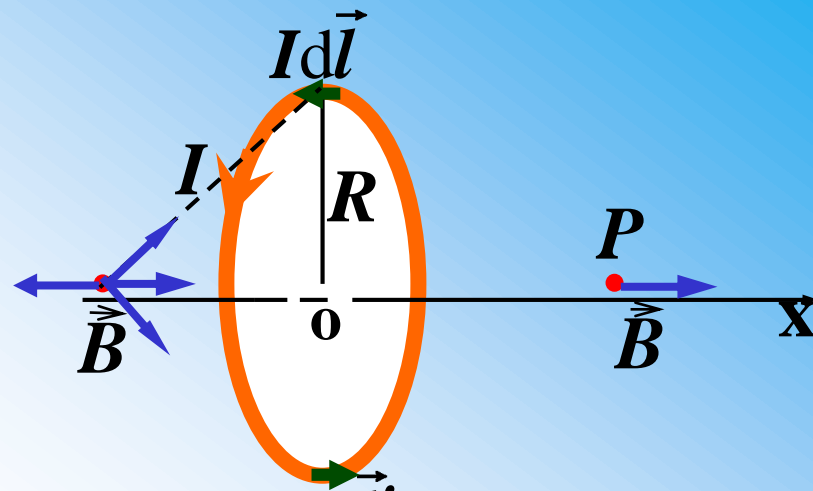
**讨论:**

1 °  $x > 0$  或  $x < 0$ ,  $\vec{B}$  与  $x$  轴同向。

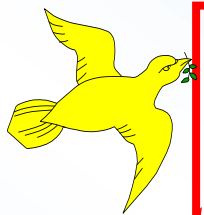
2 ° 当  $x = 0$  时, 圆心处  $B = \frac{\mu_0 I}{2R}$

半圆环圆心处  $B = \frac{\mu_0 I}{4R}$

弧长  $L$  的圆心处  $B = \frac{\mu_0 I(L)}{2R(2\pi R)} = \frac{\mu_0 I \alpha}{4\pi R}$







$$B = \frac{\mu_0 I R^2}{2(R^2 + x^2)^{3/2}}$$

**讨论:**

3° 轴线以外的磁场较复杂  
可定性给出磁感应线

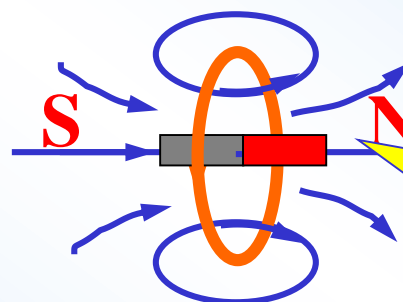
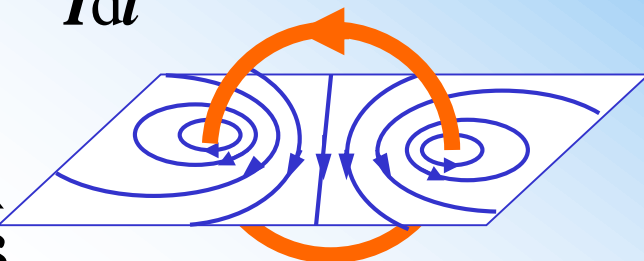
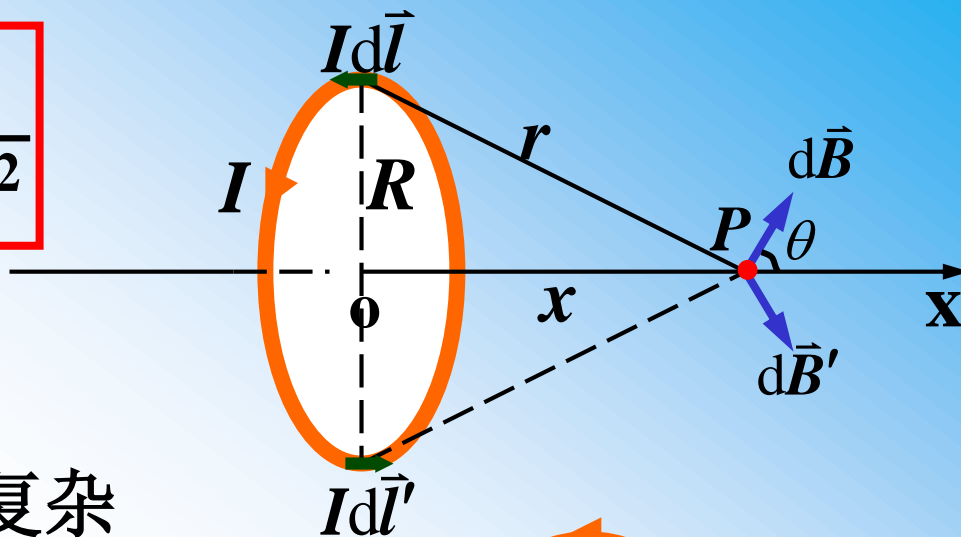
$I$ 与 $B$ 线仍服从右手螺旋关系

**定义：磁偶极矩**

$$\vec{p}_m = IS\vec{n}$$

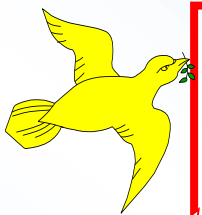
若有 $N$ 匝线圈总磁矩为：

$$\vec{P}_m = NIS\vec{n} = N\vec{p}_m$$



$n$ 与 $I$ 的方向  
成右手关系

**磁偶极子**



$$B = \frac{\mu_0 I R^2}{2(R^2 + x^2)^{3/2}}$$

**讨论:**

4°  $x \gg R$  时

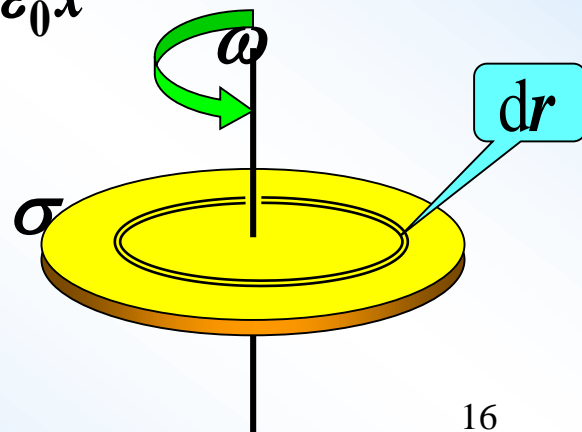
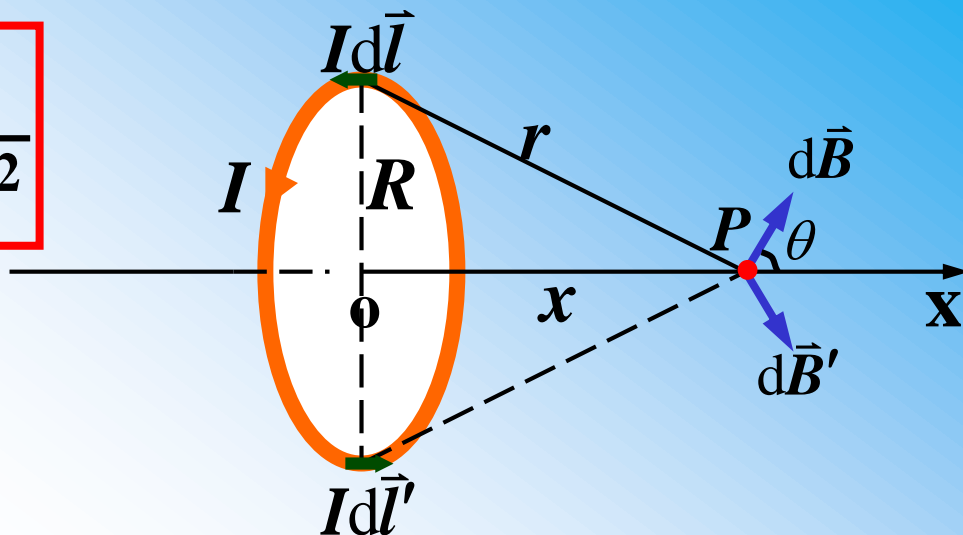
$$B = \frac{\mu_0 I R^2}{2x^3} = \frac{\mu_0 I S}{2\pi x^3} \quad \text{即} \quad \vec{B} = \frac{\mu_0 \vec{p}_m}{2\pi x^3}$$

比较电偶极子延长线上  $\vec{E} = \frac{\vec{p}}{2\pi \epsilon_0 x^3}$

5° 一个以角速度  $\omega$  转动的带电圆盘轴线上的磁场  $\vec{B} = ?$

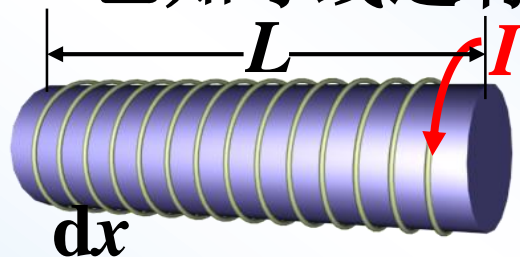
对应的磁偶极矩  $\vec{p}_m = ?$

$$dI = \sigma 2\pi r dr \frac{\omega}{2\pi}$$



**例3.** 求长为 $L$ 的螺线管轴线上的磁场 $\vec{B} = ?$

已知导线通有电流 $I$ , 单位长度上匝数为 $n$ 。



**解:** 在管上取一小段 $dx$

电流为  $dI = nI dx$

该电流在 $P$ 点的磁场为

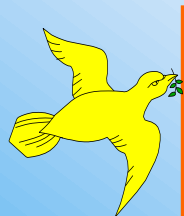
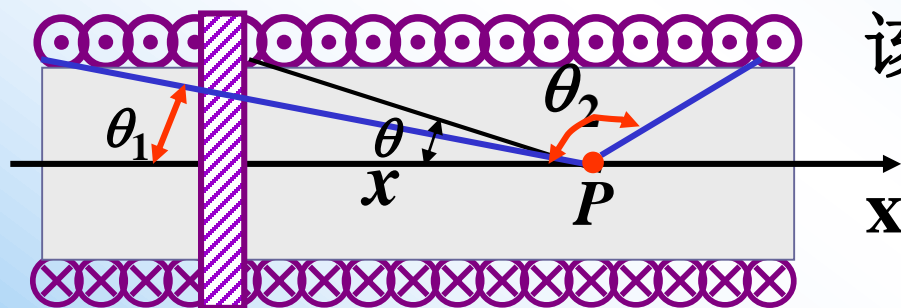
$$dB = \frac{\mu_0 R^2 n I dx}{2(x^2 + R^2)^{3/2}}$$

$$x = -R \cot \theta \quad dx = \frac{R d\theta}{\sin^2 \theta}$$

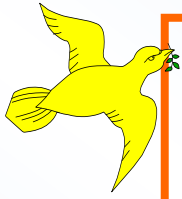
$$\text{则 } dB = \frac{\mu_0 n I}{2} \sin \theta d\theta$$

$$B = \int dB = \int_{\theta_1}^{\theta_2} \frac{\mu_0 n I}{2} \sin \theta d\theta = \frac{\mu_0 n I}{2} (\cos \theta_1 - \cos \theta_2)$$

方向沿  $x$  轴



$$B = \frac{\mu_0 I R^2}{2(x^2 + R^2)^{3/2}}$$



$$B = \frac{\mu_0 n I}{2} (\cos \theta_1 - \cos \theta_2)$$

**讨论:**

1° 无限长螺线管

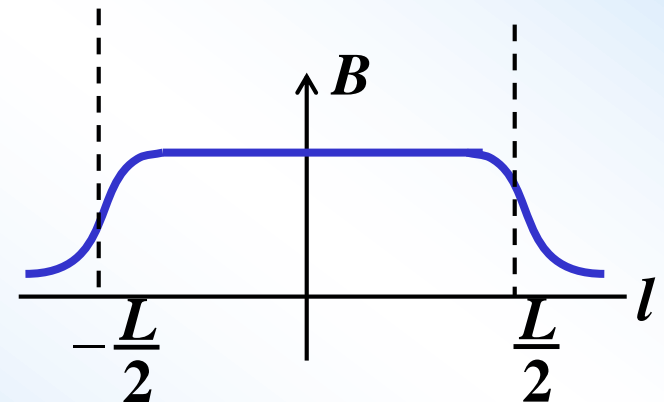
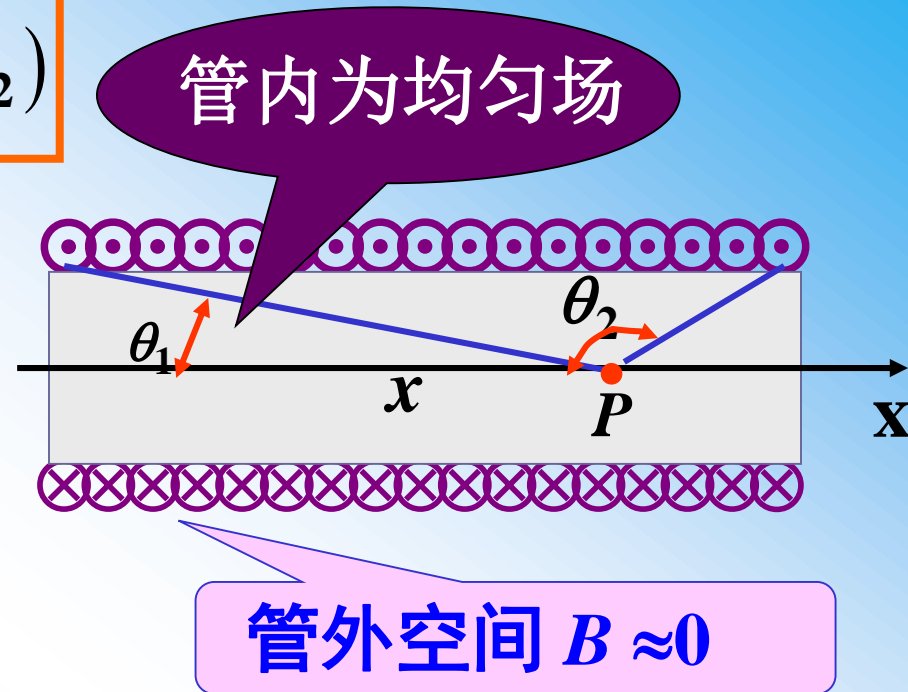
$$L \rightarrow \infty, \theta_1 = 0, \theta_2 = \pi$$

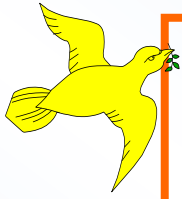
$$B = \mu_0 n I \quad \text{方向向右}$$

2° 半无限长螺线管

$$\left. \begin{array}{l} \theta_1 = \frac{\pi}{2}, \theta_2 = \pi \\ \theta_1 = 0, \theta_2 = \frac{\pi}{2} \end{array} \right\} B = \frac{1}{2} \mu_0 n I$$

3° 若管长  $L \gg R$ , 管内有很大一部分场是均匀的。





$$B = \frac{\mu_0 n I}{2} (\cos \theta_1 - \cos \theta_2)$$

**讨论:**

1° 无限长螺线管

$$L \rightarrow \infty, \theta_1 = 0, \theta_2 = \pi$$

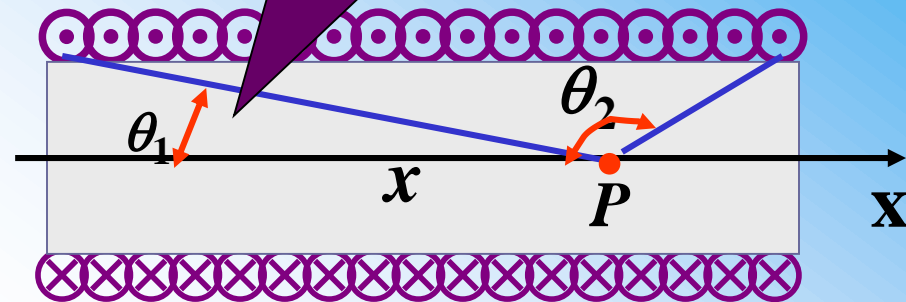
$$B = \mu_0 n I \quad \text{方向向右}$$

2° 半无限长螺线管

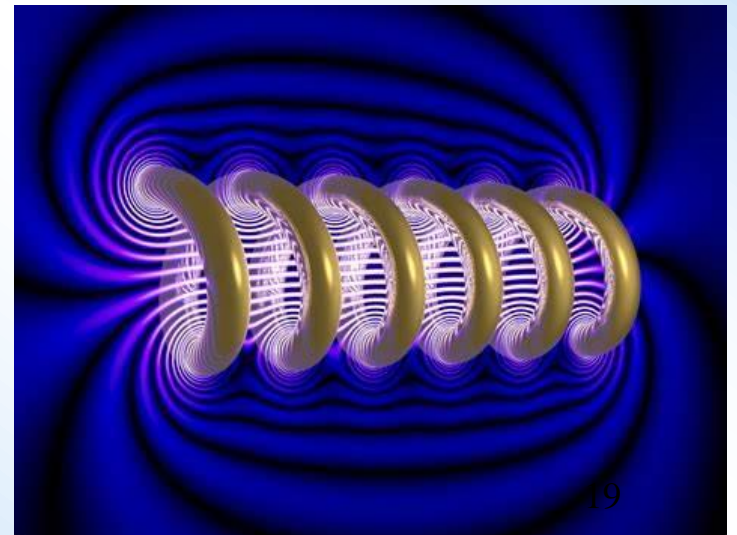
$$\left. \begin{array}{l} \theta_1 = \frac{\pi}{2}, \theta_2 = \pi \\ \theta_1 = 0, \theta_2 = \frac{\pi}{2} \end{array} \right\} B = \frac{1}{2} \mu_0 n I$$

3° 若管长  $L \gg R$ , 管内有很大一部分场是均匀的。

管内为均匀场

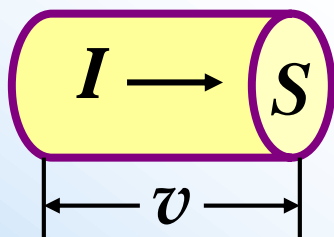


管外空间  $B \approx 0$



**例4.** 求运动点电荷的磁场  $B = ?$

**解:** 设导体截面积为  $S$ ，电流中载流子密度为  $n$ ，带电为  $q$ ，以速度  $v$  沿电流  $I$  方向运动。



如图取一段长为  $v$  的导体，则有  $I = nqSv$

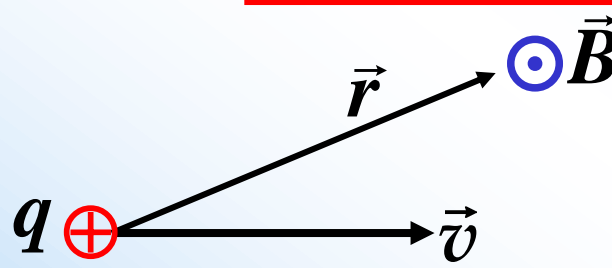
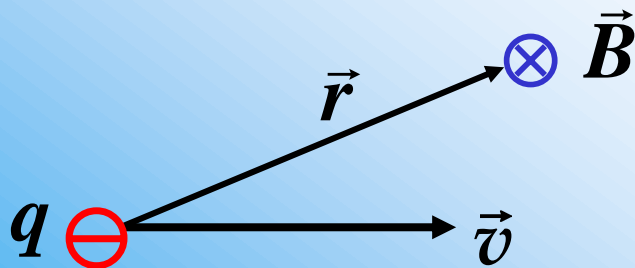
根据毕 — 萨定律

$$d\vec{B} = \frac{\mu_0}{4\pi} \frac{Id\vec{l} \times \vec{e}_r}{r^2} = \frac{\mu_0}{4\pi} \frac{nqSv d\vec{l} \times \vec{e}_r}{r^2} \quad \text{其中 } d\vec{l} \parallel \vec{v}$$

$$\therefore d\vec{B} = \frac{\mu_0}{4\pi} \frac{q dN \vec{v} \times \vec{e}_r}{r^2} \quad nSdl = dN$$

单个运动电荷所激发的磁场为

$$\vec{B} = \frac{\mu_0}{4\pi} \frac{q\vec{v} \times \vec{e}_r}{r^2}$$





### 三、磁场的高斯定理

#### 1. 磁通量

##### (1) 磁场线（磁感应线、 $B$ 线）

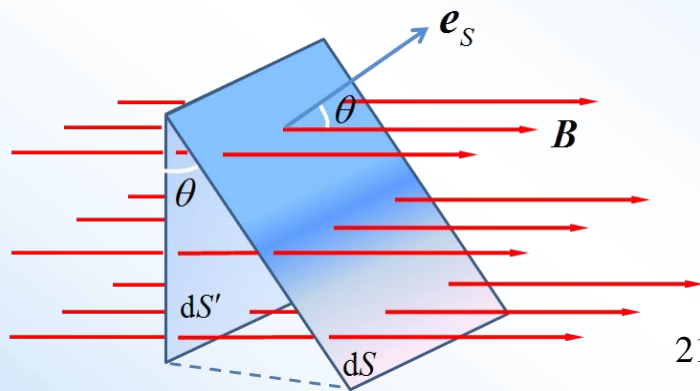
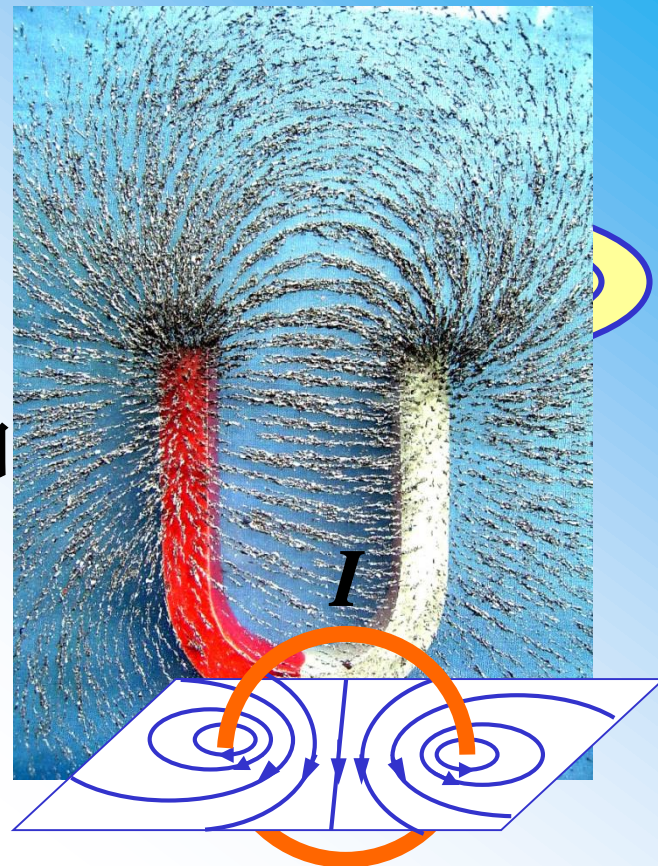
1 磁场线是无头无尾的闭合曲

2 不同电流产生不同磁场，  
其磁场线的形状不同

3 磁场线上任一点切线  
方向是该点的磁场方向

4 可用磁场线的疏密程度  
表示磁场的强弱

$$B = \frac{\Delta N}{S_{\perp}}$$



## (2) 磁通量 ( $B$ 通量)

**定义：**通过一给定曲面的磁场线的总数

——该面的磁通量  $\Phi_B$

非均匀磁场中

取面积元  $dS$

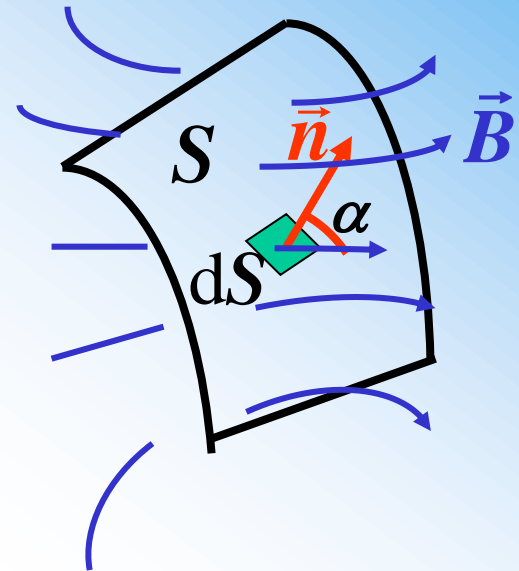
通过  $dS$  的磁通量为

$$d\Phi_B = \vec{B} \cdot d\vec{S} = B \cos \alpha dS$$

$S$  上的总磁通量为：

$$\Phi_B = \int d\Phi_B = \int_S \vec{B} \cdot d\vec{S}$$

$\Phi_B$  的单位： 韦伯(Wb)

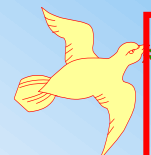


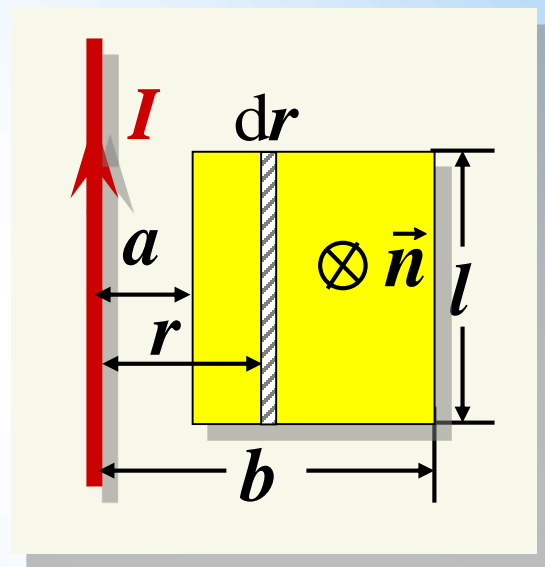
**例5.** 如图所示，在通有电流  $I$  的长直导线旁，有一矩形有一矩形平面。求：穿过该平面的  $\Phi_B$

**解：** 设该平面的法线方向垂直向里  
距导线  $r$  处取一窄条  $dr$ ，  
其上的磁通为：  $Bldr$

则该平面的总磁通为

$$\begin{aligned}\Phi &= \int_a^b \vec{B} l d\vec{s} \\ &= \int_a^b \frac{\mu_0 I}{2\pi r} l dr \\ &= \frac{\mu_0 I l}{2\pi} \ln \frac{b}{a}\end{aligned}$$


$$B = \frac{\mu_0 I}{2\pi r}$$



## 2. 磁场的高斯定理

在任意磁场中，对任意闭合曲面S有：

$$\Phi_B = \oint_S \vec{B} \cdot d\vec{S} = 0$$

**注**

### 磁场中的高斯定理

1° 静电场中，任意闭合曲面S的电通量：

$$\oint_S \vec{D} \cdot d\vec{S} = \sum_{S_{\text{内}}} q_i \neq 0$$

这是由于**有**单独存在的**自由电荷**

2° 磁场中，任意闭合曲面S的磁通量：

$$\oint_S \vec{B} \cdot d\vec{S} = 0 \quad \text{—— 磁场是**无源场**}$$

因为自然界**没有**单独存在的**自由磁荷**

# 上节课的相关内容

## 毕奥 — 萨伐尔定律

$$d\vec{B} = \frac{\mu_0}{4\pi} \frac{Id\vec{l} \times \vec{e}_r}{r^2}$$

### ➤ 无限长载流导线的磁场

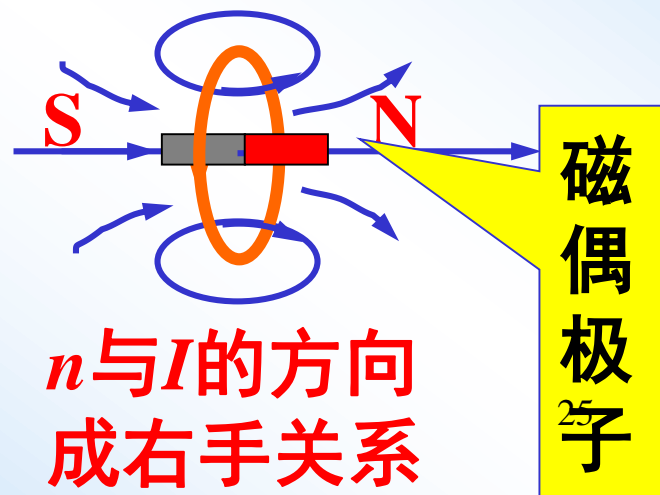
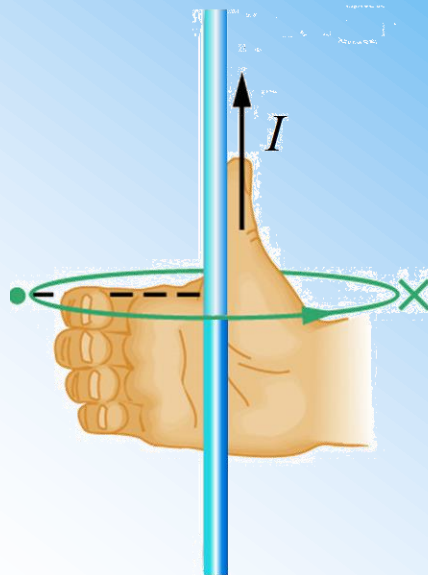
$$B = \frac{\mu_0 I}{2\pi r}$$

### ➤ 磁偶极子

磁偶极矩

$$\vec{p}_m = IS\vec{n}$$

$$\vec{B} = \frac{\mu_0 \vec{p}_m}{2\pi x^3}$$



## 四、安培环路定理

## Ampere's Law

### 1. 安培环路定理

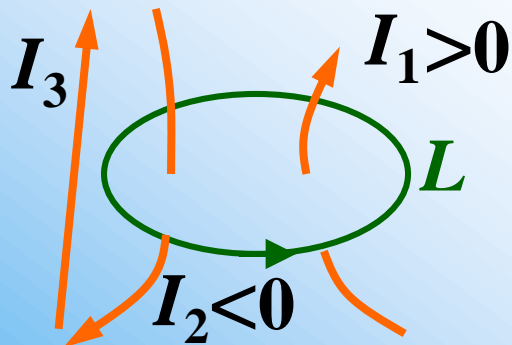
$$\oint_L \vec{B} \cdot d\vec{l} = \mu_0 \sum_{L\text{内}} I_i$$

电流 $I$ 的正负规定：

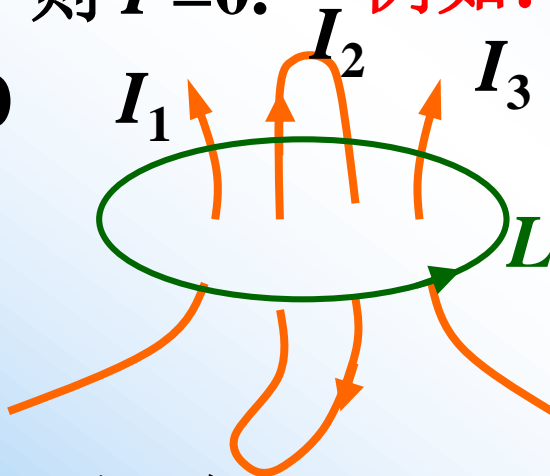
$\vec{B}$ 沿任意闭合曲线  
 $L$ 的线积分等于  
穿过闭合曲线内电流  
强度代数总和的  $\mu_0$  倍

(1)  $I$ 与 $L$ 的环绕方向成右手关系时 $I > 0$ , 反之 $I < 0$ .

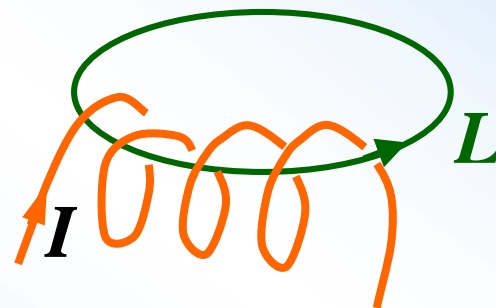
(2) 若 $I$ 不穿过 $L$ , 则  $I = 0$ . 例如:



$$\oint_L \vec{B} \cdot d\vec{l} = \mu_0 (I_1 - I_2)$$



$$\oint_L \vec{B} \cdot d\vec{l} = \mu_0 (I_1 + I_3)$$



$$\oint_L \vec{B} \cdot d\vec{l} = -4\mu_0 I$$





$$\oint_L \vec{B} \cdot d\vec{l} = \mu_0 \sum_{L \text{ 内}} I_i$$

以无限长载流导线为例

**证明:** (1) 闭合曲线 $L$ 围绕电流, 且曲线所在平面垂直载流导线

由毕萨定理可求得长直导线旁  $B = \frac{\mu_0 I}{2\pi r}$

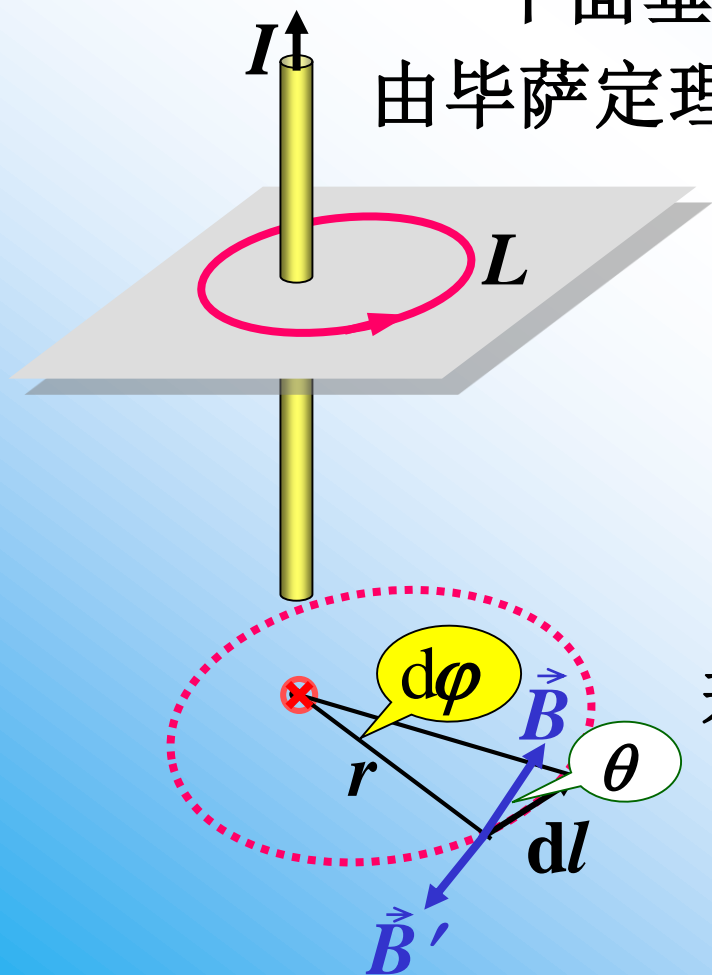
$$\begin{aligned} \vec{B} \cdot d\vec{l} &= \frac{\mu_0 I}{2\pi r} \cos \theta dl \\ &= \frac{\mu_0 I}{2\pi r} ds = \frac{\mu_0 I}{2\pi r} r d\varphi \end{aligned}$$

$$\therefore \oint_L \vec{B} \cdot d\vec{l} = \int_L \frac{\mu_0 I}{2\pi} \cdot d\varphi = \mu_0 I$$

若 $L$ 的方向不变, 而电流反向:

则  $(\widehat{\vec{B}' d\vec{l}}) = \theta' > 90^\circ \quad \cos \theta' < 0$

$$\oint_L \vec{B} \cdot d\vec{l} = -\mu_0 I$$

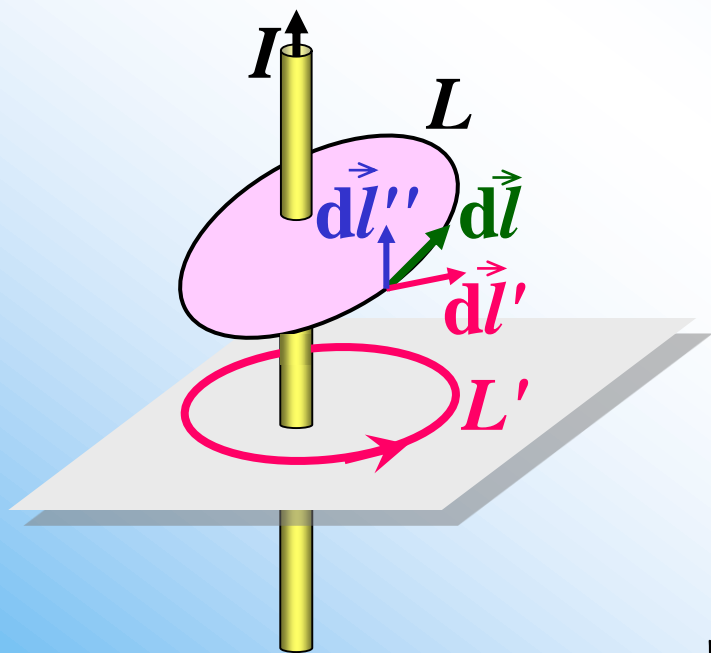




$$\oint_L \vec{B} \cdot d\vec{l} = \mu_0 \sum_{L_{\text{内}}} I_i$$

以无限长载流导线为例

证明：(2) 若闭合曲线不在垂面上



$d\vec{l}$  分解  $\begin{cases} d\vec{l}' \\ d\vec{l}'' \end{cases}$

$$\therefore \oint_L \vec{B} \cdot d\vec{l} = \oint_L \vec{B} \cdot (d\vec{l}' + d\vec{l}'')$$

$\left\{ \begin{array}{l} \text{而 } \vec{B} \perp d\vec{l}'' \quad \vec{B} \cdot d\vec{l}'' = 0 \\ \text{所有 } d\vec{l}' \text{ 在垂面上形成 } L' \end{array} \right.$

$$\text{即 } \oint_L \vec{B} \cdot d\vec{l} = \oint_{L'} \vec{B} \cdot d\vec{l}' = \mu_0 I$$



$$\oint_L \vec{B} \cdot d\vec{l} = \mu_0 \sum_{L \text{ 内}} I_i$$

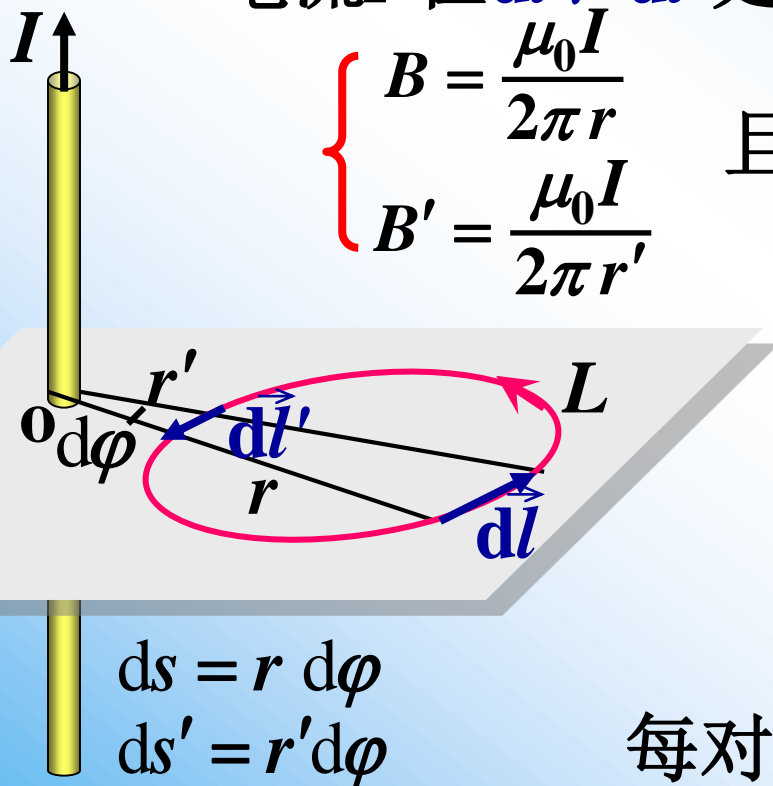
以无限长载流导线为例

**证明:** (3) 闭合曲线 $L$ 不包围载流导线

从 $o$ 点引出的两条射线, 在 $L$ 上截得 $d\vec{l}$ 、 $d\vec{l}'$   
电流 $I$  在 $d\vec{l}$ 、 $d\vec{l}'$ 处的磁场分别为:

$$\begin{cases} B = \frac{\mu_0 I}{2\pi r} \\ B' = \frac{\mu_0 I}{2\pi r'} \end{cases}$$

且有  $\begin{cases} (\vec{B} \hat{d\vec{l}}) < 90^\circ \\ (\vec{B}' \hat{d\vec{l}'}) > 90^\circ \end{cases}$



$$\begin{aligned} & \vec{B} \cdot d\vec{l} + \vec{B}' \cdot d\vec{l}' \\ &= B dl \cos \theta + B' dl' \cos \theta' \\ &= B ds - B' ds' \\ &= \frac{\mu_0 I}{2\pi r} \cancel{r} d\phi - \frac{\mu_0 I}{2\pi r'} \cancel{r'} d\phi = 0 \end{aligned}$$

每对 $\vec{B} d\vec{l}$  之和均为0

$\therefore$  整个闭合路径积分  $\oint_L \vec{B} \cdot d\vec{l} = 0$  <sup>29</sup>



$$\oint_L \vec{B} \cdot d\vec{l} = \mu_0 \sum_{L \text{ 内}} I_i$$

以无限长载流导线为例

**证明:** (4) 空间有  $k$  根载流导线, 其中  $I_1 \dots I_n$  穿过  $L$ ,  
而  $I_{n+1} \dots I_k$  不穿过  $L$

$$\begin{aligned} \oint_L \vec{B} \cdot d\vec{l} &= \oint_L (\vec{B}_1 + \vec{B}_2 + \dots + \vec{B}_k) \cdot d\vec{l} \\ &= \oint_L \vec{B}_1 \cdot d\vec{l} + \oint_L \vec{B}_2 \cdot d\vec{l} + \dots + \oint_L \vec{B}_k \cdot d\vec{l} \end{aligned}$$

由 (1) (2) 可知

$$\oint_L \vec{B}_1 \cdot d\vec{l} = \mu_0 I_1 \quad \oint_L \vec{B}_2 \cdot d\vec{l} = \mu_0 I_2 \quad \dots \quad \oint_L \vec{B}_n \cdot d\vec{l} = \mu_0 I_n$$

$$\text{由 (3) 可知: } \oint_L \vec{B}_{n+1} \cdot d\vec{l} = 0 \quad \dots \quad \oint_L \vec{B}_k \cdot d\vec{l} = 0$$

$$\therefore \oint_L \vec{B} \cdot d\vec{l} = \mu_0 (I_1 + I_2 + \dots + I_n) \quad \text{定理得证}$$

**即**

$$\oint_L \vec{B} \cdot d\vec{l} = \mu_0 \sum_{L \text{ 内}} I_i$$

→ 适用于任何稳恒磁场

证明见P268-P270

可以结合静电场中高斯定理的证明看。

$$\oint_L \vec{B} \cdot d\vec{l} = \mu_0 \sum_{L_{\text{内}}} I_i$$

适用于任何稳恒磁场

**注:**

$$\oint_L \vec{B} \cdot d\vec{l} = \mu_0 \sum_{L\text{内}} I_i$$

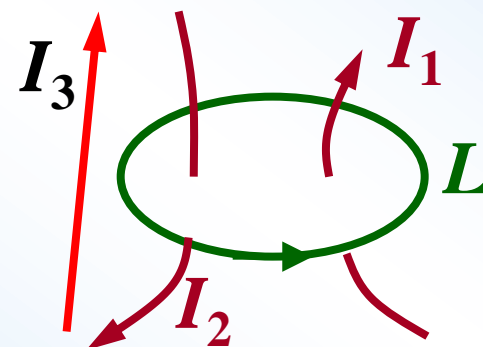
1° 若穿过回路的电流是连续分布:

$$\oint_L \vec{B} \cdot d\vec{l} = \mu_0 \int_S \vec{j} \cdot d\vec{S}$$

2° 不穿过闭合回路 $L$ 的电流 $I$ 对  $\oint_L \vec{B} \cdot d\vec{l}$  无贡献, 但对回路 $L$ 上各点的 $\vec{B}$ 贡献不为0。

例如:

$I_3$ 在回路 $L$ 上各点产生的 $B$ 都不为0



$$\oint_L \vec{B} \cdot d\vec{l} = \mu_0 (I_1 - I_2)$$



## 2. 与静电场类比

静电场的两个**基本性质**：

$$\left\{ \begin{array}{ll} \text{高斯定理} & \oint_S \vec{E} \cdot d\vec{S} = \frac{1}{\epsilon_0} \sum_{S\text{内}} q_i \quad \text{有源场} \\ \text{环路定理} & \oint_L \vec{E} \cdot d\vec{l} = 0 \quad \text{无旋场} \end{array} \right.$$

稳恒磁场两个**基本性质**：

$$\left\{ \begin{array}{ll} \text{高斯定理} & \oint_S \vec{B} \cdot d\vec{S} = 0 \quad \text{无源场} \\ \text{环路定理} & \oint_L \vec{B} \cdot d\vec{l} = \mu_0 \sum_{L\text{内}} I_i \quad \text{有旋场} \end{array} \right.$$